脂质体稳定,重复性良好。

包封率是评价脂质体制剂质量好坏的最重要 指标, 也是其能否发挥较普通制剂高效、低毒特 点的关键。测定包封率时通常将游离药物与脂质 体进行分离,分别测定游离药物量和制剂中总药 物量, 计算包封率。常见的分离方法有透析法、 超速离心法、葡聚糖凝胶法、超滤膜过滤法等[8]。 透析法不适用于除去大分子药物,透析过程缓慢, 而且使用的透析液的渗透压应与脂质体混悬液的 渗透压相同, 否则会引起脂质体的体积发生变化, 导致药物泄漏<sup>[9]</sup>。由于该脂质体粒径较小,采用较 长时间的超速离心也不能完全分离脂质体和游离 药物,而且长时间的超速离心,难以避免脂质双分 子层严重破坏。本实验采用葡聚糖凝胶法测定包封 率,可以使复方脂质体和游离药物达到有效分离, 柱回收率达95%以上。本法方便快速、容易操作、 重复性好, 更适合于生产过程中的质量控制。

5-Fu 和 Amp 单一成分的含量测定方法有多种。本实验采用紫外分光光度法直接对二者进行测定,方法简便、快速,而且准确,可适用于常规分析和质量控制。

粒径大小及其分布是影响脂质体在体内靶向性、物理稳定性及临床安全性的重要指标,因此,粒径大小成为该脂质体质量控制的关键之一<sup>[11]</sup>。本实验采用了激光粒度仪对 Amp-5-Fu 脂质体的粒径及分布进行了测定,结果表明,粒径<145 nm,大小均匀,呈正态分布。

体外释药实验表明,Amp-5-Fu 脂质体的前期 释药较快,后期释药缓慢。未包封的游离药物先 迅速释放出来,而包封于脂质体中的药物释放缓 慢,起到了长效缓释作用。

本实验成功将两种抗肿瘤药物 5-Fu 和 Amp 同时包封于脂质体给药系统制备成复方脂质体,所采用的制备工艺简单可行,重复性好,包封率较高。体外释药实验表明,复方脂质体具有一定的缓释作用,延长药物的释放时间。

#### REFERENCES

- LEUCUTA S E. Nanotechnology for delivery of drugs and biomedical applications [J]. Curr Clin Pharmacol, 2010, 5(4): 257-280.
- [2] AJAZUDDIN S S. Applications of novel drug delivery system for herbal formulations [J]. Fitoterapia, 2010, 81(7): 680-689.
- [3] LIU D Y, LUO M, XIE B F, et al. Antitumor effects of ampelopsin [J]. Chin J Cancer( 癌症), 2001, 20(12): 1372-1375.
- [4] YE J T, ZHENG Y L, LIU D Y. Reversal effect and its mechanism of ampelopsin on multidrug resistance in K562 /ADR cells [J]. China J Chin Mater Med(中国中药杂志), 2009, 34(6): 761-765.
- [5] HE Z F, LIU D Y, ZENG S, et al. Study on preparation of ampelopsin liposomes [J]. China J Chin Mater Med(中国中药杂志), 2008, 33(1): 27-30.
- [6] SAMAD A, SULTANA Y, AQIL M. Liposomal drug delivery systems: an update review [J]. Curr Drug Deliv, 2007, 4(4): 297-305.
- [7] GAO J K, FAN K, HOU Z J, et al. Preparation and evaluation of liposome-encapsulated recombinant human ciliary neurotrophic factor [J]. Chin J Mod Appl Pharm(中国现代应用药学), 2011, 28(2): 146-149.
- [8] DENG Y J. Liposomes Techniques (脂质体技术) [M]. Beijing: People's Medical Press, 2007: 70.
- [9] CHEN Z H, LIU B Y, WEI Y C. Progress of research on methods for determination of liposomal encapsulation efficiency [J]. Pharm J Chin PLA(解放军药学学报), 2011, 27(1): 79-82.
- [10] QU J J, FENG S H, LI K Y. Preparation and quality evaluation of artemisinin liposomes [J]. Chin J Mod Appl Pharm(中国现代应用药学), 2011, 28(3): 251-256.

收稿日期: 2012-03-23

# 硫酸长春新碱固体脂质纳米粒的制备及其性质考察

夏爱晓 $^1$ ,宋倩倩 $^2$ ,孙渊 $^1$ ,周鹏 $^1$ ,杜有功 $^1$ ,李范珠 $^{2*}$ (1.浙江省台州医院药剂科,浙江临海 317000; 2.浙江中医药大学 药学院,杭州 310053)

摘要:目的 以单硬脂酸甘油酯为载体材料,采用复乳溶剂挥发法制备硫酸长春新碱固体脂质纳米粒(VCR-SLN),并考察其理化性质。方法 采用复乳溶剂挥发法制备 VCR-SLN,以正交设计优化处方及制备工艺,并考察其形态、粒径、Zeta 电位、包封率、载药量和体外释放。结果 VCR-SLN 为类球形实体粒子,平均粒径为(144.83±2.71)nm, Zeta 电位为

**作者简介:** 夏爱晓,女,硕士,药师 Tel: (0576)85199450 诗 Tel: (0571)86633030 E-mail: Lifanzhu@zjtcm.net

E-mail: aixiao13579@163.com

\*通信作者:李范珠,男,博士,教授,

(-24.77±0.513)mV,包封率为(40.54±0.45)%,载药量为(1.14±0.074)%。药物体外释放曲线符合 Weibull 方程。结论 复乳溶剂挥发法适用于制备硫酸长春新碱固体脂质纳米粒。

关键词:制备工艺;硫酸长春新碱;固体脂质纳米粒

中图分类号: R943 文献标志码: B 文章编号: 1007-7693(2013)01-0163-07

### Preparation and Characterization of Vincristine Sulfate-loaded Solid Lipid Nanoparticles

XIA Aixiao<sup>1</sup>, SONG Qianqian<sup>2</sup>, SUN Yuan<sup>1</sup>, ZHOU Peng<sup>1</sup>, DU Yougong<sup>1</sup>, LI Fanzhu<sup>2\*</sup>(1.Taizhou Hospital of Zhejiang Province, Department of Pharmacy, Linhai 317000, China; 2.College of Pharmaceutical Science, Zhejiang Chinese Medical University, Hangzhou 310053, China)

**ABSTRACT: OBJECTIVE** To prepare vincristine sulfate-solid lipid nanoparticles(VCR-SLN) with single stearic acid glyceride as its lipid matrix and investigate its characterization. **METHODS** Multiple emulsion-solvent diffusion technique was adopted to prepare VCR-SLN and the orthogonal design was applied to optimize its formula and technology. Its morphology, particle size,  $\zeta$  potential, drug entrapment efficiency, drug loading capacity and *in vitro* release of the VCR-SLN were investigated. **RESULTS** VCR-SLN were spherelike and smooth, the mean particles size was (144.83±2.71)nm,  $\zeta$  potential was (-24.77±0.513)mV, entrapment efficiency was (40.54±0.45)%, drug loading capacity was (1.14±0.074)%. The release profile of vincristine sulfate *in vitro* fitted Weibull equation. **CONCLUSION** VCR-SLN can be prepared very well by multiple emulsion-solvent diffusion technique.

**KEY WORDS:** preparation; vincristine sulfate; solid lipid nanoparticles

长春新碱(VCR)是一种双吲哚型生物碱,为夹 竹桃科植物长春花中提取的有效成分, 疗效比长 春碱强约 10 倍,可用于治疗急性淋巴细胞性白血 病,疗效较好,对其他急性自血病、何杰金氏病、 淋巴肉瘤、网状细胞肉瘤和乳腺癌也有疗效[1-3]。 长春新碱虽然抗肿瘤作用良好, 但神经毒性大, 对光不稳定,给临床使用带来诸多不便利。固体 脂质纳米粒(solid lipid nanoparticles, SLN)采用生 理兼容耐受性好的类脂材料为载体,为非脂质体 的双分子层结构。Müller 称其为"后脂质体给药 系统",它以多种固态的天然或合成的类脂材料, 如磷脂、三酰甘油、脂肪酸、脂肪醇等形成的固 体颗粒, 能将药物包封于类脂核中或吸附在颗粒 表面。这种微粒具有类细胞结构, 进入人体内主 要被网状内皮系统吞噬而启动机体的自身免疫功 能,并改变被包封药物的体内分布,使药物主要 在骨髓、脾、肺和肝等组织器官中积蓄,从而提 高药物的治疗指数<sup>[4-6]</sup>。SLN 能控制药物释放,避 免药物降解或泄漏,并具有缓控释、靶向、低毒 等优点[7],主要用于静脉给药,达到控释或靶向作 用;也可用于口服给药,以控制药物在胃肠道内 的释放, 亦可经透皮和眼部给药。靶向制剂可降 低长春新碱神经毒性等不良反应,并提高其体外 稳定性和疗效,目前其新制剂长春新碱脂质体正

在临床试验研究,而 SLN 具备了脂质体的一些优点外,还有一定的控释和靶向性,物理化学性质更加稳定,并可多途径给药。

SLN 的制备方法一般有以下几种: ①薄膜接 触法:装置简单,粒径可控,载药量大,适合于 工业生产,但 SLN 质量分数较低,制备影响因素 较多;②熔融-超声法:避免有机溶剂污染,操作 简便,但粒径较大,不适于热敏性药物;③高剪 切乳化超声法:操作简便,但粒度分布不均;④ 高压乳匀法:操作简便,粒径小且分布窄,避免 有机溶剂污染,适合工业生产,但不适于热敏性 药物;⑤微乳法:制备简单,粒径较小,分散过 程不需要额外的能量,但稀释中是分散液中 SLN 含量较低,且需要大量的乳化剂和助乳化剂;⑥ 乳化蒸发-低温固化法:操作简便,但有机溶剂难 于除尽,使药物具有潜在毒性,易于析出晶体[8]; ⑦乳化-溶剂挥发法:避免高温加热,粒径较小, 比较适合用于亲水性药物,如蛋白、多肽类 SLN 的制备。近些年来出现的新方法如超临界流体法, 此法可避免大量使用有机溶剂及由此而造成的环 境污染和除去产品中残留有机溶剂的繁琐步骤, 并可用于热敏感、结构不稳定及易失活变性的蛋 白质、多肽类药物[9-10],可解决大部分方法对水溶 性药物包封效率低、药物突释等缺点, 但是该方

法需要特殊的超临界装置。本实验以单硬脂酸甘油酯(GMS)、卵磷脂为载体材料,采用复乳溶剂挥发法制备硫酸长春新碱 SLN,在单因素考察的基础上,以正交设计优化处方及制备工艺,并考察其形态、粒径、Zeta 电位、包封率、载药量和体外释放性能。

## 1 仪器与材料

Labconco 冷冻干燥机(美国 Labconco 公司); TGL-16B 高速台式离心机(上海安亭科学仪器厂); Marvern Measurement 粒度测定仪(英国马尔文仪 器有限公司); Agilent 1200 高效液相色谱仪(美国 Agilent 公司); UV-1700 紫外分光光度计(日本岛津 公司); HJ-6B 多头磁力加热搅拌机(金坛市金伟实 验仪器厂); CP225D 电子天平(北京赛多利斯仪器 系统有限公司); Mill-Q 超纯水器(美国 Millpore 公 司); RE52CS 旋转蒸发器(上海亚荣生化仪器厂); JEM-1200EX 透射电子显微镜(日本 Jeol 公司)。

硫酸长春新碱(海南长春花药业有限公司,纯度>98%,批号 20100902); 泊洛沙姆 188(德国BASF公司,批号 WPAF538B);单硬脂酸甘油酯(法国嘉法狮公司,批号 127339); 硬脂酸(德国 Cognis公司,批号 CG43060020); 大豆卵磷脂(上海国药集团化学试剂有限公司,批号 W20100601); 胆酸钠(Sigma公司,批号104K0060); 聚乙烯醇(Sigma公司,Mw=13000~23000Da,批号10918AE); 三乙胺、甲醇(美国 Honeywell Burdick&Jackson公司); 磷酸(色谱纯,美国 TEDIA公司); 透析袋(截留分子量为7000Da,上海绿鸟科技发展有限公司); 其他试剂均为分析纯。

## 2 方法与结果

# 2.1 硫酸长春新碱含量测定

**2.1.1** 色谱条件 采用 HPLC 法, 色谱柱: Hypersil ODS2  $C_{18}$ 柱(4.6 mm×200 mm, 5 μm); 流动相: 甲醇-水-三乙胺(140:60:1)(磷酸调 pH=7.0); 流速: 1.0 mL·min<sup>-1</sup>; 柱温: 35 °C; 检测波长: 297 nm, 进样量为 20 μL。出峰时间为 6.080 min。

2.1.2 标准曲线绘制 精密称取硫酸长春新碱 1.0 mg 置于 10 mL 量瓶中,用蒸馏水溶解并定容至刻度作为对照储备液。精密量取一定量对照储备液用甲醇定容至刻度,制得浓度为 1,5,10,15,20,40,60,80 μg·mL<sup>-1</sup>系列标准溶液。按"2.1.1"项下色谱条件进行分析,记录峰面积,以硫酸长

春新碱浓度(C)为横坐标,峰面积(A)为纵坐标进行线性回归,得到回归方程: A=21.394 3C-5.985 1,r=0.999 8(n=8)。

2.1.3 包封率和载药量测定 采用聚结离心法结 合 HPLC 法测定包封率(entrapment efficiency, EE) 与载药量(drug loading, DL)。精密量取硫酸长春 新碱固体脂质纳米粒胶体溶液 1.00 mL, 采用 0.1  $mol \cdot L^{-1}$  的盐酸调节 pH 到 1.2 絮凝纳米粒, 再将其 加入具塞离心管中,超速离心(室温,15 000 r·min<sup>-1</sup>, 40 min)后取上清液 20 μL, 用 0.22 μm 微 孔滤膜滤过,取续滤液按"2.1.1"项下色谱条件 测定,计算上清液中硫酸长春新碱含量,记作 $W_1$ ; 另精密量取硫酸长春新碱固体脂质纳米粒胶体溶 液 1.00 mL,加入乙醇适量超声,定容至10.00 mL, 同法求得纳米粒中总的硫酸长春新碱含量, 记作  $W_0$ ; 将 1.00 mL 硫酸长春新碱固体脂质纳米粒胶 体溶液冻干后称重,记作 W<sub>t</sub>。按以下公式分别计 算 SLN 的包封率和载药量: EE/%=(W<sub>0</sub>-W<sub>1</sub>)/W<sub>0</sub>× 100%; DL/%= $(W_0-W_1)/W_1\times 100\%$ .

# 2.2 正交实验设计

根据单因素考察结果,选择 GMS 用量(A)、GMS 与大豆卵磷脂质量比(B)、泊洛沙姆 188 浓度(C)、复乳超声时间(D)为试验因素,各因素选取 3个水平,见表 1。按正交设计表 L<sub>9</sub>(3<sup>4</sup>)安排实验,以粒径、包封率为考察指标。初乳超声条件为涡旋 30 s+探头超声 20 s(200 W,超声 1 s,间歇 1 s),搅拌速度为 1 000 r·min<sup>-1</sup>;复乳超声乳化,功率为 300 W。

表1 正交试验因素水平表

**Tab 1** Factors and levels in the orthogonal design

	因素					
水平	A 单硬脂酸 甘油酯/mg	B 单硬脂酸甘油酯: 大豆卵磷脂	C 泊洛沙姆 188/%	D 复乳超声 时间/s		
1	40	3:1	1.0	30		
2	45	4.5:1	1.5	60		
3	50	5:1	2.0	90		

**2.2.1** 正交实验结果 应用加权分析法对正交实验结果进行综合分析,粒径 $(y_1)$ 和包封率 $(y_2)$ 分别按55%和45%的系数积分,综合评分(y)=55 $(1-y_1/179.1)$ +45 $\times y_1/42.6$ 。结果见表2和表3。

#### 表2 正交试验方案和结果

Tab 2 Design and result of orthogonal design

实验号	因素			粒径/	包封率/		
<b>关</b> 独 与	A	В	С	D	nm	%	У
1	1	1	1	1	145.1	32.8	45.09
2	1	2	2	2	179.1	28.9	30.53
3	1	3	3	3	132.1	28.7	44.75
4	2	1	2	3	149.0	39.6.	51.07
5	2	2	3	1	149.2	36.6	47.84
6	2	3	1	2	130.0	42.6	54.83
7	3	1	3	2	118.9	34.3	54.96
8	3	2	1	3	94.18	37.3	65.48
9	3	3	2	1	158.3	40.0	49.27
$K_1$	40.173	50.372	55.133	47.401			
$K_2$	51.248	47.949	43.626	46.774			
$K_3$	56.572	49.618	49.184	53.767			
R	16.442	2.426	11.507	6.993			

#### 表3 方差分析表

**Tab 3** Variance analysis of the orthogonal design

	-		_	
方差来源	离均差平方和	自由度	F 值	显著性
A	422.643	2	45.726	*P<0.05
C	198.692	2	21.496	*P<0.05
D	89.812	2	9.717	
B(误差)	5.92	2		

注:  $F_{0.05(2,2)}$ =19 Note:  $F_{0.05(2,2)}$ =19

由表 2 中极差分析 R 值可知,在以加权结果做为考察指标的 4 个影响因素中,最显著影响因素为单硬脂酸甘油酯用量,泊洛沙姆 188 浓度,其次为单硬脂酸甘油酯与大豆卵磷脂质量比,影

响因素排序为: A>C>D>B。经计算得各因素水平之和的平均值  $K_1$ 、 $K_2$ 、 $K_3$ ,综合各因素 K 值与直观 比较,得出理论上最佳制备工艺条件为  $A_3B_1C_1D_3$ ,即单硬脂酸甘油酯用量为 50 mg,单硬脂酸甘油酯与大豆卵磷脂质量比为 3:1,泊洛沙姆 188 浓度为 1.0%,复乳超声时间为 90 s(功率 300 W,工作 1 s,间歇 1 s)。

2.2.2 优化的制备工艺 精密称取单硬脂酸甘油酯 50 mg 和 16 mg 大豆卵磷脂,超声溶于 1 mL 乙酸乙酯为有机相;取硫酸长春新碱 4.5 mg 混悬于200 μL 蒸馏水中构成内水相,混合后涡旋 30 s,再探头超声处理 20 s (功率 200 W,工作 1 s,间歇 1 s),得 W/O 初乳;随后用注射器将初乳加入到 3 mL 含 1%泊洛沙姆 188 的水溶液中,探头超声处理 90 s(功率 300 W,工作 1 s,间歇 1 s)得 W/O/W 复乳,将复乳分散于 1%泊洛沙姆 188 的 10 mL 水溶液中,旋转蒸发除去有机溶剂,得带有蓝色乳光的 VCR-SLN 胶体溶液。

2.2.3 最佳工艺验证 为进一步考察最佳工艺的可靠性及稳定性,按照正交试验结果得出的最优工艺,制备 3 批 VCR-SLN。工艺验证实验结果见表 4。由表中结果可知,SLN 的平均粒径、PDI、Zeta 电位、包封率和载药量均相对稳定,表明制备工艺稳定性较好。

表 4 验证实验结果

**Tab 4** The result of verification test

实验号	粒径/nm	多分散系数	Zeta 电位/mV	包封率/%	载药量/%	
1	141.3	0.257	-24.33	40.21	1.23	
2	147.9	0.278	-24.44	41.45	1.05	
3	145.3	0.293	-25.47	39.98	1.16	
平均值	144.83±2.71	0.276±0.014	$-24.77 \pm 0.513$	$40.54\pm0.45$	$1.14\pm0.074$	

#### 2.3 VCR-SLN 形态观察

室温下,取适量所制得的 VCR-SLN 胶体溶液滴加于铜网上,静置 10 min 后用滤纸片吸干,再滴加 2.0%磷钨酸溶液于铜网上负染 3 min,自然挥干,用透射电子显微镜观察并摄制照片。从透射电镜照片可见,纳米粒呈圆形或类圆形,表面圆滑,大小及分布较均匀,粒子之间未见粘连和聚集现象,见图 1。

# 2.4 平均粒径和 Zeta 电位

取适量 VCR-SLN 胶体溶液,用粒度测定仪测定纳米粒的平均粒径及粒径分布。得 VCR-SLN 平均粒径为(145.4 $\pm$ 3.6)nm,PDI 为 0.285 $\pm$ 0.016,Zeta 电位为(-28.41 $\pm$ 0.07)mV,见图 2,3。

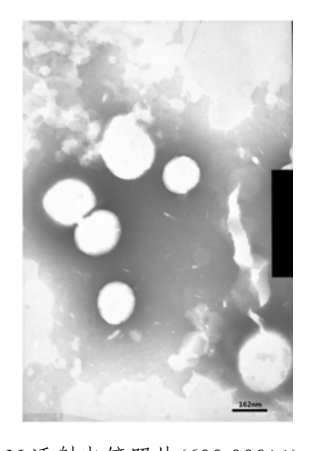


图 1 VCR-SLN 透射电镜照片(600 000×)

**Fig 1** TEM of VCR-SLN(600 000 $\times$ )

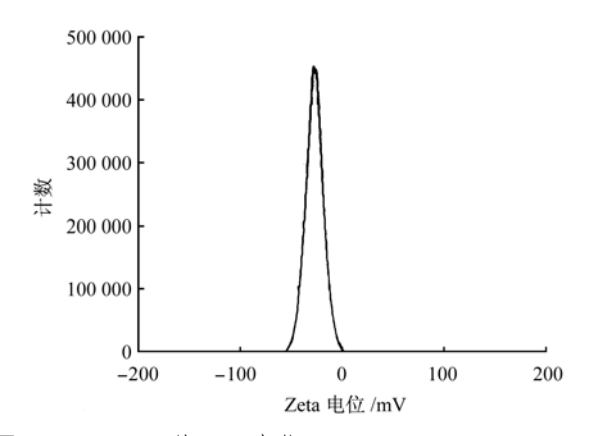


图 2 VCR-SLN 的 Zeta 电位

Fig 2 Zeta potential of VCR-SLN

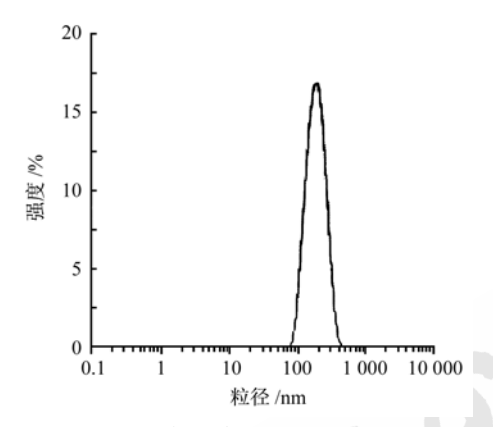


图 3 VCR-SLN 的粒径分布

Fig 3 Particle size of VCR-SLN

# 2.5 VCR-SLN 体外释放度测定

2.5.1 透析袋对药物的吸附 精密称取 1 mg 硫酸长春新碱的 50 mL 的蒸馏水溶解完全后,取出 10 mL 放入盛有 50 mL 磷酸盐缓冲液(pH 7.4 和 pH 6.8)的溶出杯中,37 ℃,100 r·min<sup>-1</sup> 搅拌。待搅拌均匀后,取出 1 mL,测定未放透析袋前释放介质中硫酸长春新碱的浓度;将已处理过的透析袋浸入释放介质中,同法,测定释放介质中硫酸长春新碱的浓度,比较硫酸长春新碱的浓度前后是否有变化。结果表明,加入透析袋前后,硫酸长春新碱的浓度未有显著性变化,说明透析袋对硫酸长春新碱没有吸附作用。

**2.5.2** 标准曲线绘制 精密称取硫酸长春新碱 1.0 mg,于 50 mL 量瓶中,加 pH 7.4 磷酸盐缓冲液定容,得到 20  $\mu$ g·mL<sup>-1</sup> 的储备液。精密量取储备液 0.25,0.5,1.0,2.0,2.5,4,5 mL 于 10 mL 量瓶中,用 pH 7.4 磷酸盐缓冲液定容至刻度,得 0.5,1.0,2.0,4.0,5.0,8.0,10.0  $\mu$ g·mL<sup>-1</sup> 的系列标准溶液。过 0.22  $\mu$ m 微孔滤膜,进样 20  $\mu$ L。以浓度

(*C*) 对峰面积(*A*) 进行线性回归,得方程 A=17.58C-0.8460(r=0.9998),在0.5~10.0  $\mu$ g·mL<sup>-1</sup> 内线性良好。同法制备 VCR 在 pH6.8 磷酸盐缓冲液中的标准曲线 A=20.30C-1.2428(r=0.9998),在0.5~10.0  $\mu$ g·mL<sup>-1</sup> 内线性良好。

2.5.3 体外释放度的测定结果[11] 采用透析袋法 对 VCR-SLN 的体外释药特征进行研究。精密量取 同批制备的 VCR-SLN 胶体溶液 2 mL,置于处理 过的透析袋内,将袋口扎紧。将含药透析袋分别 置于 50 mL pH 7.4 和 pH 6.8 的磷酸盐缓冲液中, 于(37±0.5)℃恒温水浴振荡(75 r·min<sup>-1</sup>),于 0.1, 0.25, 0.5, 0.75, 1, 1.25, 1.5, 1.75, 2, 2.5, 3, 4, 5, 6, 8, 12, 24 h 取样 1 mL, 立即补加等量 同温释放介质,样品过 0.22 µm 微孔滤膜,测定 不同时间点硫酸长春新碱的含量, 按以下公式计算 累积释放量 $(M_n)$ 和累计释放百分率 $(Q_n)$ :  $M_n = C_n V_0 + \sum_i C_i V_i$ ;  $Q_n(\%) = M_n / C_0 \times 100\%$ . 其中,  $M_n$  为各时间点的累积释放量;  $Q_n$  为各时间点的累 积释放百分率;  $C_n$  为第 n 个时间点的实测药物浓 度;  $V_0$  为释放介质体积;  $V_i$  为取样体积;  $C_i$  为第 i个取样时间点的实测药物浓度;  $C_0$  为总药物浓度。 VCR-SLN 体外释放曲线见图 4。

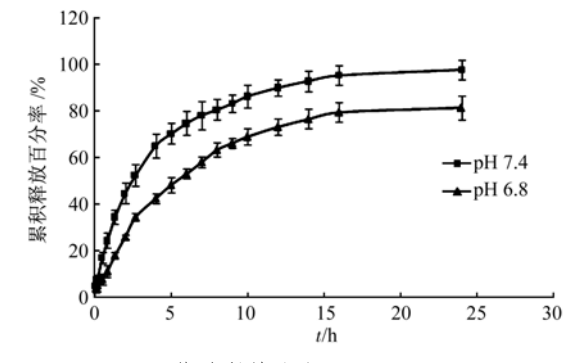


图 4 VCR-SLN 体外释放曲线(n=3)

**Fig 4** Drug release profiles of VCR-SLN *in vitro*(*n*=3)

VCR-SLN 在 pH 7.4 和 pH 6.8 的 PBS 缓冲液中的释药曲线见图 4。由释药曲线可知,所得VCR-SLN 在 pH 7.4 的释放介质中释药较 pH 6.8 介质中快。VCR-SLN 在两种介质中开始时释放均较快,存在一定的突释现象,4 h 时药物的累积释放百分率分别为 65.20%(pH 7.4)和 41.25%(pH 6.8),随后释药曲线渐趋平稳,于 24 h 时累积释放百分率分别为 97.80%(pH 7.4)和 81.60%(pH 6.8),具有明显的缓释作用。结果表明,VCR-SLN 在 pH 7.4 和 pH 6.8 的 PBS 缓冲液中的释药行为均符合

Weibull 方程, 分别为 lnln(1/1-Q) = 0.754lnt-1.669,  $r^2 = 0.982\ 0$ (pH 7.4)及 lnln(1/1-Q) = 0.775lnt-1.080,  $r^2 = 0.999\ 0$ (pH 6.8)。

## 3 讨论

SLN 制备方法很多,有乳化溶剂挥发法、高 温乳化-低温固化法、复乳法等。本实验采用以上 3 种方法制备 VCR-SLN, 根据硫酸长春新碱水溶 性好的性质, 最终确定 W/O/W 复乳-溶剂挥发法, 该方法适合水溶性强的小分子药物,将药物包封 于复乳的内水相中,包封率可以达到40%~60%。 前 2 种方法主要用于包载脂溶性药物。复乳法主 要采用二步法原理:即 W/O/W 型复乳中内水相微 水珠被亲油性乳化剂 I 膜(本实验采用大豆卵磷脂) 包裹,而含有微水珠的油滴又被亲水性乳化剂Ⅱ 膜(本实验采用泊洛沙姆 188)包裹,内外水相被油 膜隔开, 并避免药物向外相扩散。本实验所述的 复乳法是将单硬脂酸甘油酯溶于有机溶剂中,将 药物水溶液(内部水相 W1)分散在其中形成水溶性 药物的 W<sub>1</sub>/O 型乳液,再在搅拌的条件下分散到含 有稳定剂的水溶液(外部水相 W2)中形成 W1/O/W2 型乳液,溶剂挥发,过滤,干燥,即得载药固体 脂质纳米粒。同时,此萃取-挥发-萃取过程反复进 行,使载体材料析出形成囊膜,将药物包裹其中, 直到纳米粒完全固化为止。固化速度越快,所制 得的纳米粒粒径越小。

测定包封率常用的分离方法主要有超速离心 法,透析法,超滤离心法和凝胶色谱法等。尝试 多种测定方法,最终确定聚结离心法[12],通过调 节分散体系电荷,如用阳性聚集剂(氯化铝、硫酸 镁等)和将 pH 值调至酸性,可使分散体系得到更 多正电荷,整个体系电荷趋于中性,引起粒子的 自身凝聚。本实验在分散液中加入盐酸至体系 pH 1.2, 以中和 SLN 表面电荷, 破坏其体系稳定性, 使 SLN 沉降而与游离药物分离,然后经过超速离 心(离心条件为 15 000 r·min<sup>-1</sup>, 40 min), 如果通过 测定上清液中药物含量以计算游离药物总量,必 确保药物在水相中有足够的溶解度,否则游离药 物本身也可能聚结成粒子而使测定结果偏高。硫 酸长春新碱在水中易溶,即1g能在1~10 mL水中 溶解,本实验所制备的 SLN 中硫酸长春新碱的浓 度约为 3.07 mg·mL<sup>-1</sup>, 远低于其饱和溶解度, 即使 全部硫酸长春新碱未被 SLN 包封,将溶解于水性 上清液中而不会以药物粒子的形式存在,因此通 过测定上清液中的药物含量能准确计算出游离药物的含量。

VCR-SLN 的释药特点为开始快速释药,后期 缓慢释药。开始快速释药的原因主要是吸附在纳 米粒表面或通过比较弱的键与纳米粒连接的药物 在较短的时间内脱落造成, 而不是纳米粒中包载 的药物, 在体外释放试验前期这部分吸附形式的 药物以扩散方式快速进入释放介质中; 另一方面, 在释放初期, 纳米粒中药物浓度较高, 而释放介 质中的药物浓度较低,这种高渗透压的存在可以 导致部分纳米粒破裂而将包载药物快速释放入介 质中。在制备过程中, 部分乳化剂被同时包裹于 脂质骨架表层中,亦可导致药物"突释现象"的 产生。在药物释放过程中,由于亲水性乳化剂的 溶解速度远远大于脂质骨架的溶解或溶蚀速度, 因此可能在纳米粒表层致孔,导致包封在表层药 物的释放速率大于包封在固体脂质核内药物。后 期缓慢释药的原因,主要是因为随着吸附形式的 药物快速释放完毕和释放介质中药物浓度提高而 导致的内外相之间渗透压差减小, SLN 中的包埋 硫酸长春新碱开始以较恒定的速度缓慢释放,这 是实现纳米粒缓释作用的关键机制。

新型给药系统能降低 VCR 不良反应,提高生物利用度,目前 VCR 脂质体虽已经进入了临床研究,但其临床耐受性及药物累积毒性仍然需要密切关注。如何更好使 VCR 达到靶向治疗,进一步降低其不良反应,延长其作用时间,将是 VCR 新型给药系统不断追求的。

### REFERENCES

- HUSSEIN M. Pegylated liposomal doxorubicin, vincristine, and educed-dose dexamethasone as first-line therapy for multiple myeloma [J]. Clin Lymphoma, 2003, 4(Suppl 1): 18-22.
- [2] SIKORSKA A, SLOMKOWSKI M, MARLANKA K. The use of vinca alkaloids in adult patients with refractory chronic idiopathic thrombocytopenia [J]. Clin Lab Haematol, 2004, 26(6): 407-411.
- [3] CHAUVENET A R, SHASHI V, SELSKY C, et al. Vincristine-induced neuropathy as the initial presentation of charcot-marie-tooth disease in acute lymphoblastic leukemia: a Pediatric Oncology Group study [J]. J Pediatr Hematol Oncol, 2003, 25(4): 316-320.
- [4] MULLER R H, MADER K, GOHLA S. Solid lipid nanoparticls (SLN) for controlled drug delivery review of the state of theart [J]. Eur J Pharm Biopharm, 2000, 50(1): 161-177.
- [5] UNER M. Preparation, characterization and physico-chemical properties of solid lipidnanoparticles(SLN) and nanostructured lipid carriers(NLC): their benefis as colloidal drug carrier systems [J]. Pharmazie, 2006, 61(5): 375-386.

- [6] WISSING S A, KAYSER O, MULLER R H. Solid lipid nanoparticles for parentera drug delivery [J]. Adv Drug Deliv Rev, 2004, 56(9): 1257-1272.
- [7] SAWANT K K, DODIYA S S. Recent advances and patents on solid lipid nanoparticles [J]. Recent Pat Drug Deliv Formul, 2008, 2(2): 120-135.
- [8] QIU K F, HUANG S H, CAI B L, et al. Optimization of triamcinolone acetonide-loaded solid lipid nanoparticles formula by central composite design and response surface methodology [J]. Chin J Mod Appl Pharm(中国现代应用药学), 2012, 29(10): 920-924.
- [9] CHENG Y, PING Q N. Supercritical fluid precipitation technology and its application in pharmaceutics [J]. Prog Pharm Sci(药学进展), 2004, 28(2): 63-67.
- [10] YE B B, YUAN H, DU Y Z, et al. Supercritical assisted atomization for preparation of solid lipid nanoparticles [J]. Chin J Mod Appl Pharm(中国现代应用药学), 2011, 28(3): 247-251.
- [11] CHEN T, HOU S X, WANG Y Y, et al. Release profile of compound liposomes entrapped with vincristine sulfate and mitoxantrone chlorhydric acid *in vitro* and their distribution in mice [J]. Acta Pharm Sin(药学学报), 2006, 41(12): 1170-1175.
- [12] WANG Y Z, ZHENG J X, HU H Q, et al. Determination of the entrapment efficiency of β-elemene solid lipid nanoparticles by method of coagulation-filtration [J]. J Shenyang Pharm Univ(沈阳药科大学学报), 2007, 24(5): 271-275.

收稿日期: 2011-12-14

# HPLC 测定维药恰玛古儿药材中槲皮素的含量

海力茜·陶尔大洪,马桂芝,王菁,古娜娜·对山别克(新疆医科大学药学院,乌鲁木齐 830054)

摘要:目的 建立维药恰玛古儿药材中槲皮素的含量测定方法,为其制定质量标准提供依据。方法 采用 HPLC 对恰玛古儿药材中槲皮素进行含量测定。采用 Kromasil  $C_{18}$  柱(4.6 mm×250 mm,5 μm),流动相:甲醇-0.1%磷酸水溶液(50:50),检测波长:360 nm,流速:1.0 mL·min<sup>-1</sup>,柱温:30 ℃。结果 槲皮素进样量在2.525 6~15.153 6 μg·mL<sup>-1</sup> 时,与峰面积值呈良好线性关系(r=0.999 7)。平均加样回收率为101.4%,RSD 为1.1%(n=6)。结论 所建立的方法简便、快捷,重复性好,可用于该药材的质量评价。

关键词: 恰玛古儿; 槲皮素; 高效液相色谱法

中图分类号: R284.1 文献标志码: A

文章编号: 1007-7693(2013)01-0169-03

# Content Determination of Quercetin in Brassica Rapa L. by HPLC

TAOERDAHONG Hailiqian, MA Guizhi, WANG Jing, DUISHANBIEKE Gunana(College of Pharmacy, Xinjiang Medical University, Urumqi 830054, China)

**ABSTRACT: OBJECTIVE** To establish the content determination method of quercetin in *Brassica rapa* L., and so as to provide reference for its quality control. **METHODS** The content of quercetin in *Brassica rapa* L. was determined by HPLC. The chromatographic conditions were as follows: Kromasil  $C_{18}(4.6 \text{ mm} \times 250 \text{ mm}, 5 \text{ \mu m})$ , mobile phase was methanol-0.1% phosphoric acid(50:50), flow rate 1.0 mL·min<sup>-1</sup>, column temperature at 30 °C, detection wavelength 360 nm. **RESULTS** Querectin showed a good linear relationship in the range of 2.525 6–15.153 6  $\mu$ g·mL<sup>-1</sup>, the average recovery was 101.4% and RSD was 1.1%. **CONCLUSION** The established method is simple and rapid with good reproducibility, and can be used for the quality control of *Brassica rapa* L.

KEY WORDS: Brassica rapa L.; quercetin; HPLC

恰玛古儿植物学名为芜菁(Brassica rapa L.),种子植物门双子叶植物纲十字花科(Cruciferae)芸苔属,芸苔种,芜菁亚种二年生草本植物,夏秋两季采收。来源为十字花科植物芜菁的干燥块根。药食同源,历史悠久。恰玛古儿具有很高的药用价值,始载于《名医别录》,味苦温,无毒,助消

化, 祛风, 镇咳, 驱腹胸寒气, 解热毒, 消肿, 强身<sup>[1]</sup>。《维吾尔药志》记: 性温, 开胸顺气, 健胃消食, 解毒; 用于胸闷腹胃胀痛, 食欲不振, 疮疖肿毒等<sup>[2]</sup>。恰玛古儿药材的主要成分之一黄酮类化合物具有抗炎、抗肝脏毒性、抗菌、抗病毒、防治高血压及动脉粥样硬化、提高免疫力的作用<sup>[3-4]</sup>。

基金项目: 新疆维吾尔自治区少数民族科技骨干特培专项基金(200723105)

作者简介:海力茜·陶尔大洪,女,教授 Tel: 13999879870 E-mail: hailiqian2471@sina.com